



Métodos Numéricos para Equações Diferenciais

Helio Pedro Amaral Souto

Nova Friburgo, 13 de Maio de 2024

Graduação em Engenharia

1 Propagação de uma Frente de Temperatura

Um dos ramos da engenharia trata dos problemas de transferência de calor que ocorrem em várias aplicações práticas. Como alguns exemplos, onde a transferência de calor é importante, temos os trocadores de calor; os dissipadores de calor em componentes eletrônicos; a secagem de madeira, grãos e cimento; os sistemas de refrigeração de veículos; etc.

Um caso bem simples, incluindo a advecção e a condução de calor, que podemos considerar é o da propagação de uma frente de temperatura. Nesse problema, no instante inicial $t = 0$ uma frente descontínua de temperatura encontra-se localizada em $x = 0$. Na Figura 1, vemos esquematicamente a representação da condição inicial para a propagação da frente de temperatura.

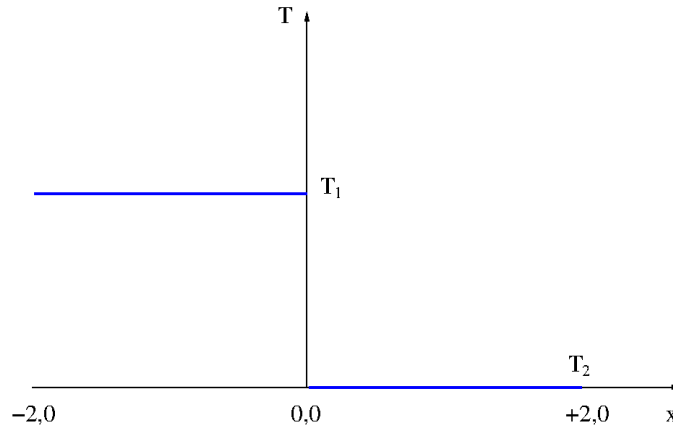


Figura 1: Perfil inicial da frente de temperatura.

Do balanço de energia, podemos mostrar que a transferência de calor é governada pela equação de advecção-condução de calor unidimensional [2]

$$\frac{\partial T}{\partial t} + u \frac{\partial T}{\partial x} = \alpha \frac{\partial^2 T}{\partial x^2} \quad u > 0 \quad (1)$$

onde T é a temperatura, u a velocidade de advecção e α a difusividade térmica, ou seja, $\alpha = k/(\rho c_p)$, sendo k a condutividade térmica, ρ a massa específica e c_p a capacidade térmica a pressão constante.

A fim de que possamos resolver esta equação diferencial parcial, devemos fornecer as condições de contorno e inicial em termos da variável dependente (a temperatura). Nesse caso específico, vamos considerar que a condição inicial é dada por

$$T(x, 0) = \begin{cases} 1, 0 & \text{se } x < 0 \\ 0, 0 & \text{se } x > 0 \end{cases} \quad (2)$$

enquanto que as condições de contorno impostas são

$$T(x, t) = \begin{cases} T_1 & \text{se } x = -2 \\ T_2 & \text{se } x = +2 \end{cases} \quad (3)$$

sendo que vemos que T_1 é maior do que T_2 para o caso em questão.

2 Solução Analítica

Para essa geometria simples e considerando o sistema de coordenadas cartesianas, sabemos que é possível obter uma solução analítica, para uma velocidade de advecção constante, a partir do Método de Separação de Variáveis [3], que pode ser aplicado à resolução de equações diferenciais parciais lineares e homogêneas, com condições de contorno homogêneas [3]. Portanto, a seguinte solução analítica é obtida para $T_1=1,0$ e $T_2=0,0$ [2]

$$T(x, t) = 0,5 - \frac{2}{\pi} \sum_{k=1}^{\infty} \frac{1}{2k-1} \exp \left[\frac{-\alpha(2k-1)^2 \pi^2 t}{L^2} \right] \sin \left[(2k-1) \frac{\pi(x-ut)}{L} \right] \quad (4)$$

onde as variáveis x , t , α , L e u já foram definidas anteriormente.

3 Solução Numérica

Embora a solução analítica seja conhecida, vamos obter a solução numérica no intuito de mostrarmos a acurácia da solução numérica e podermos testar os critérios de estabilidade, determinados empregando o método de von Neumann para as formulações explícita e implícita.

3.1 Esquema Geral a Três Níveis de Tempo

Aplicando o esquema geral a três níveis de tempo, para $\gamma = 0$, ao problema de advecção-condução de calor unidimensional, sabendo que as derivadas espaciais são aproximadas por diferenças centradas, ou *upwind* de primeira ordem em se tratando do termo advectivo, e a três pontos centrada para o termo difusivo, obtemos a sua forma final discretizada [2]

$$\begin{aligned}
& \frac{\phi_j^{n+1} - \phi_j^n}{\Delta t} + (1 - \beta) \frac{u}{\Delta x} [(1 - \delta)(\phi_j^n - \phi_{j-1}^n) + \delta(\phi_{j+1}^n - \phi_j^n)] \\
& + \beta \frac{u}{\Delta x} [(1 - \delta)(\phi_j^{n+1} - \phi_{j-1}^{n+1}) + \delta(\phi_{j+1}^{n+1} - \phi_j^{n+1})] \\
& - (1 - \beta) \frac{\alpha}{\Delta x^2} (\phi_{j-1}^n - 2\phi_j^n + \phi_{j+1}^n) \\
& - \beta \frac{\alpha}{\Delta x^2} (\phi_{j-1}^{n+1} - 2\phi_j^{n+1} + \phi_{j+1}^{n+1}) = 0
\end{aligned} \tag{5}$$

ou ainda,

$$\begin{aligned}
& -\beta[(1 - \delta)C + s]\phi_{j-1}^{n+1} + \{1 + \beta[(1 - 2\delta)C + 2s]\}\phi_j^{n+1} - \beta(-\delta C + s)\phi_{j+1}^{n+1} \\
& = (1 - \beta)[(1 - \delta)C + s]\phi_{j-1}^n + \{1 - (1 - \beta)[(1 - 2\delta)C + 2s]\}\phi_j^n + (1 - \beta)(-\delta C + s)\phi_{j+1}^n
\end{aligned} \tag{6}$$

onde $C = u\Delta t/\Delta x$ e $s = \alpha\Delta t/\Delta x^2$. Para $\beta = 0$ obtemos a formulação explícita, enquanto que para $\beta = 1/2$ recuperamos o esquema de Crank-Nicolson e, finalmente, para $\beta = 1$ temos a formulação totalmente implícita. Tomando $\delta = 0,5$ obtemos o esquema do tipo diferença centrada para o termo advectivo e o esquema *upwind*, de primeira ordem, é obtido fazendo $\delta = 0$. Além disso, para $\delta = 0,5(1 - C)$ recuperamos o esquema de Lax-Wendroff [1].

Da análise de estabilidade de von Neumann, podemos mostrar quais são as condições necessárias para que esses diferentes métodos explícitos e implícitos convirjam. Os critérios resumidos são apresentados na Tabela 1 [1, 2].

3.2 O Algoritmo de Thomas

Como β pode ser diferente de zero, na forma geral da equação discretizada, devemos empregar um método numérico de resolução de sistemas de equações algébricas. Dentre os métodos disponíveis, vamos escolher o algoritmo de Thomas, ou TDMA, para obtermos a solução numérica do sistema de equações:

$$-c_j\phi_{j-1}^{n+1} + a_j\phi_j^{n+1} - b_j\phi_{j+1}^{n+1} = d_j^n \tag{7}$$

Tabela 1: Condições de estabilidade para os diferentes métodos numéricos.

Método	β	δ	Condição
FTCS (Explícito)	0	0,5	$0 \leq C^2 \leq 2s \leq 1$
Upwind (Explícito)	0	0	$C + 2s \leq 1$
Lax-Wendroff (Explícito)	0	$0,5(1-C)$	$C^2 + 2s \leq 1$
Crank-Nicolson	0,5	todos	nenhuma
Totalmente Implícito	1	todos	nenhuma

A aplicação desse algoritmo pode ser resumida na seguinte sequência de operações:

1. Determinação dos valores de P_1 e Q_1 : $P_1 = 0$ e $Q_1 = T_1$;
2. Cálculo dos valores de P_j e Q_j para $j = 2$ até $j = J - 1$:

$$P_j = \frac{b_j}{a_j - c_j P_{j-1}}$$

e

$$Q_j = \frac{d_j + c_j Q_{j-1}}{a_j - c_j P_{j-1}};$$

3. Determinação dos valores P_J e Q_J : $P_J = 0$ e $Q_J = T_2$;
4. Calcular a solução numérica do sistema algébrico, ϕ_j^{n+1} , para j variando de $J - 1$ até 1:

$$\phi_j^{n+1} = P_j \phi_{j+1}^{n+1} + Q_j.$$

No caso do método numérico utilizado, os valores dos coeficientes a_j , b_j , c_j e d_j podem ser facilmente identificados a partir da forma geral discretizada, Equação (6),

$$a_j = 1 + \beta[(1 - 2\delta)C + 2s] \quad (8)$$

$$b_j = \beta(-\delta C + s) \quad (9)$$

$$c_j = \beta[(1 - \delta)C + s] \quad (10)$$

$$\begin{aligned} d_j = & (1 - \beta)[(1 - \delta)C + s]\phi_{j-1}^n + \{1 - (1 - \beta)[(1 - 2\delta)C + 2s]\}\phi_j^n \\ & + (1 - \beta)(-\delta C + s)\phi_{j+1}^n \end{aligned} \quad (11)$$

e vemos que o termo d_j deve ser atualizado a cada iteração no tempo.

3.3 Parâmetros Físicos

Na resolução numérica do problema de advecção-condução vamos empregar o conjunto de parâmetros apresentados na Tabela 2. O tempo máximo de simulação, t_{max} , irá variar em função dos casos.

Tabela 2: Parâmetros físicos.

Variável	Valor
α	$1,0 \times 10^{-1}$
L	4,0
T_1	1,0
T_2	0,0

Além dos valores da difusividade térmica, comprimento do domínio físico e temperaturas, nas regiões à esquerda e à direita da origem, as simulações numéricas devem ser realizadas considerando os diferentes quatro casos propostos a seguir.

Primeiro caso

$$\beta = 0 \rightarrow \begin{cases} C = 0 \\ s = 1/6 \text{ e } 1 \\ t_{max} = 1,0 \end{cases} \quad (12)$$

Segundo caso

$$\beta = 0 \rightarrow \begin{cases} u &= 0,5 \text{ e } 4,0 \\ \Delta t &= 0,05 \\ \Delta x &= 0,2 \\ \delta &= 0,0, 0,5 \text{ e } 0,5(1-C) \\ t_{max} &= 1,0 \end{cases} \quad (13)$$

Terceiro caso

$$\beta = 1 \rightarrow \begin{cases} u &= 1,0 \\ \Delta t &= 0,025 \\ \Delta x &= 0,2 \\ \delta &= 0,0, 0,5 \text{ e } 0,5(1-C) \\ t_{max} &= 0,5 \end{cases} \quad (14)$$

Quarto caso

$$\beta = 1/2 \rightarrow \begin{cases} u &= 1,0 \\ \Delta t &= 0,025 \\ \Delta x &= 0,2 \\ \delta &= 0,0, 0,5 \text{ e } 0,5(1-C) \\ t_{max} &= 0,5 \end{cases} \quad (15)$$

Para os últimos três casos, comparar a acurácia dos resultados obtidos com $\delta=0,0, 0,5$ e $0,5(1-C)$. Caso seja possível, apresente um gráfico comparativo entre a solução exata e as soluções numéricas. Como regra geral, comente todos os resultados obtidos!

A título de ilustração, a Figura 2 mostra os resultados comparativos para os esquemas explícito ($\beta = 0$) e Crank-Nicolson ($\beta = 1/2$), empregando diferença centrada (DC), $\delta = 0,5$, e *upwind* (UPW), $\delta = 0,0$, na discretização do termo advectivo. Os valores da temperatura foram calculados considerando que $C = 0,125$, $s = 0,125$ e para um tempo final de simulação $t_{max} = 1,0$.

Uma vez terminada a resolução numérica, quando o tempo máximo de simulação t_{max} for atingido, devemos calcular o erro médio quadrático (EMQ) entre a solução analítica $T(x_j, t^n)$ e a solução numérica T_j^n . O erro médio quadrático deve ser calculado a partir da expressão

$$EMQ = \sqrt{\frac{\sum_{j=1}^{J_{max}} [T_j^n - T(x_j, t^n)]^2}{J_{max}}} \quad (16)$$

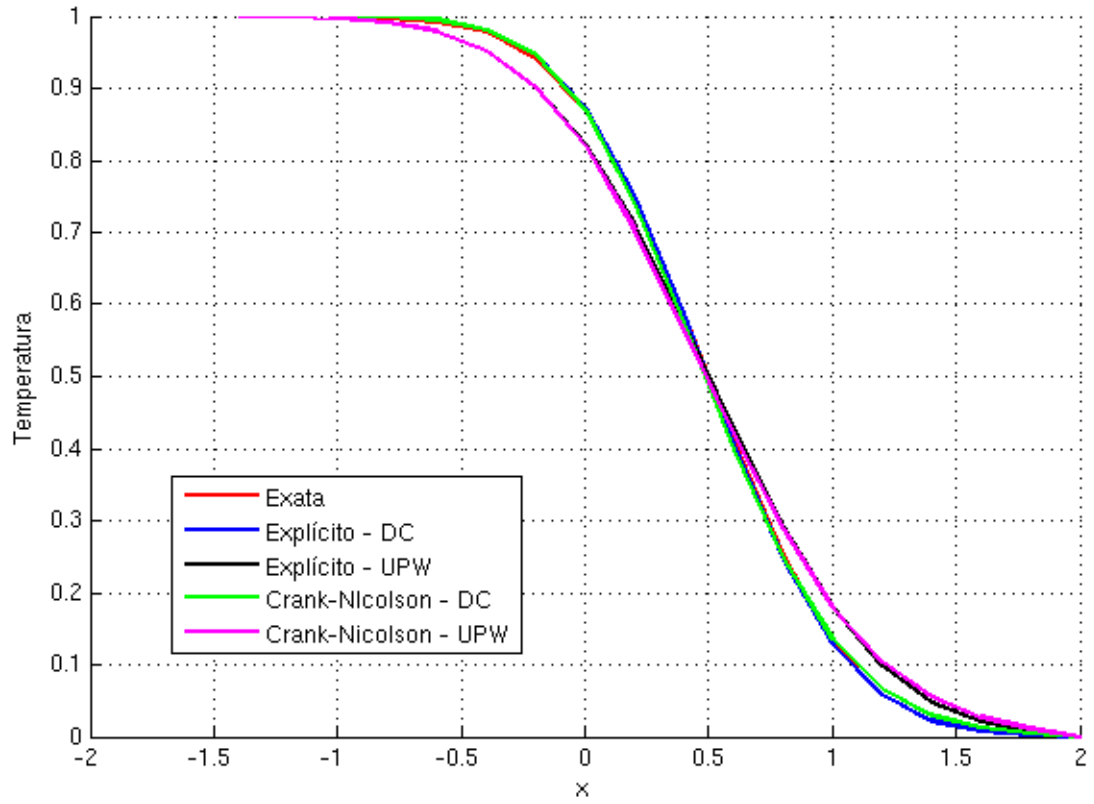


Figura 2: Comparação entre os perfis de temperatura para $C = 0,125$, $s = 0,125$ e $t = 1,0$.

A saída impressa dos resultados deve seguir, como exemplo, a formatação da listagem fornecida ao final deste documento. Nela, t é o tempo, TN é o valor numérico da temperatura, nos diferentes nós da malha, TE é o valor teórico da temperatura, determinado a partir da Equação (4), para o último valor do tempo calculado e para as posições correspondentes aos nós da malha, e EMQ representa o valor do erro médio quadrático.

EQUACAO DE ADVECCAO-DIFUSAO: CRANK-NICOLSON
 TERMO ADVECTIVO: DIFERENCA CENTRADA

JMAX= 11 MAXEX= 100 NMAX= 1
 TMAX= 1.00 T1= 1.00 T2= 0.00
 BETA= 0.50000E+00 DELTA= 0.50000E+00
 DELTA_T= 0.40000E-01 DELXTA_X= 0.40000E+00
 S= 0.25000E-01 ALPHA= 0.10000E+00
 U= 0.25000E+00 C= 0.25000E-01 RCEL= 0.10000E+01

t= 0.040	TN=	1.000	1.000	1.000	1.000	0.994	0.512	0.019	0.000	0.000	0.000	0.000
t= 0.080	TN=	1.000	1.000	1.000	1.000	0.988	0.524	0.037	0.001	0.000	0.000	0.000
t= 0.120	TN=	1.000	1.000	1.000	1.000	0.983	0.535	0.054	0.003	0.000	0.000	0.000
t= 0.160	TN=	1.000	1.000	1.000	0.999	0.978	0.545	0.071	0.005	0.000	0.000	0.000
t= 0.200	TN=	1.000	1.000	1.000	0.999	0.974	0.556	0.088	0.008	0.000	0.000	0.000
t= 0.240	TN=	1.000	1.000	1.000	0.999	0.970	0.565	0.104	0.011	0.001	0.000	0.000
t= 0.280	TN=	1.000	1.000	1.000	0.999	0.966	0.574	0.120	0.014	0.001	0.000	0.000
t= 0.320	TN=	1.000	1.000	1.000	0.998	0.962	0.583	0.136	0.018	0.002	0.000	0.000
t= 0.360	TN=	1.000	1.000	1.000	0.998	0.959	0.592	0.151	0.023	0.002	0.000	0.000
t= 0.400	TN=	1.000	1.000	1.000	0.997	0.956	0.600	0.166	0.028	0.003	0.000	0.000
t= 0.440	TN=	1.000	1.000	1.000	0.997	0.953	0.608	0.180	0.033	0.004	0.000	0.000
t= 0.480	TN=	1.000	1.000	1.000	0.997	0.951	0.615	0.194	0.038	0.005	0.001	0.000
t= 0.520	TN=	1.000	1.000	1.000	0.996	0.948	0.622	0.208	0.043	0.007	0.001	0.000
t= 0.560	TN=	1.000	1.000	1.000	0.996	0.946	0.629	0.221	0.049	0.008	0.001	0.000
t= 0.600	TN=	1.000	1.000	1.000	0.995	0.944	0.636	0.234	0.055	0.009	0.001	0.000
t= 0.640	TN=	1.000	1.000	1.000	0.995	0.942	0.642	0.247	0.062	0.011	0.002	0.000
t= 0.680	TN=	1.000	1.000	1.000	0.994	0.941	0.648	0.259	0.068	0.013	0.002	0.000
t= 0.720	TN=	1.000	1.000	1.000	0.994	0.939	0.654	0.271	0.074	0.015	0.002	0.000
t= 0.760	TN=	1.000	1.000	0.999	0.993	0.938	0.660	0.283	0.081	0.017	0.003	0.000
t= 0.800	TN=	1.000	1.000	0.999	0.993	0.936	0.666	0.294	0.088	0.019	0.003	0.000
t= 0.840	TN=	1.000	1.000	0.999	0.992	0.935	0.671	0.306	0.095	0.022	0.004	0.000
t= 0.880	TN=	1.000	1.000	0.999	0.992	0.934	0.676	0.317	0.102	0.024	0.005	0.000
t= 0.920	TN=	1.000	1.000	0.999	0.991	0.933	0.682	0.327	0.109	0.027	0.005	0.000
t= 0.960	TN=	1.000	1.000	0.999	0.991	0.932	0.686	0.338	0.116	0.030	0.006	0.000
t= 1.000	TN=	1.000	1.000	0.999	0.991	0.931	0.691	0.348	0.124	0.033	0.007	0.000

t= 1.000	TE=	1.000	1.000	0.999	0.991	0.927	0.712	0.369	0.109	0.017	0.001	0.000
----------	-----	-------	-------	-------	-------	-------	-------	-------	-------	-------	-------	-------

EMQ= 0.1119D-01

O código fonte e a listagem dos resultados devem ser fornecidos impressos!
 Comente os resultados obtidos com as formulações explícita e implícita.

Referências

- [1] A. R. Appadu. *Numerical Solution of the 1D Advection-Diffusion Equation Using Standard and Nonstandard Finite Difference Schemes*. Journal of Applied Mathematics, Article ID 734374, 2013.
- [2] C. A. J. Fletcher. *Computational Techniques for Fluid Dynamics*, Volume 1. Springer-Verlag, 1991.
- [3] M. Necati Özisik. *Heat Conduction*. John Wiley & Sons, 1980.